



AKADEMIA GÓRNICZO-HUTNICZA
IM. STANISŁAWA STASZICA W KRAKOWIE

Teoria sygnałów

Wykład 12

Dr inż. Przemysław Korohoda
Katedra Elektroniki, AGH, Kraków

home.agh.edu.pl/~korohoda/rok_2022_2023_zima/TS_EL_2

UPEL: TS 2022

Plan wykładu

- 1. Zmiana argumentu w delcie Diraca.**
- 2. Nieliniowe przetwarzanie sygnałów kosinusoidalnych.**
- 3. Ujemne sprzężenie zwrotne.**
- 4. Teoretyczna pętla fazowa.**
- 5. Próbkowanie z aperturą (różne wersje).**
- 6. Różne warianty odtwarzania sygnału z próbek.**
- 7. Próbkowanie naturalne we wzmacniaczach mocy.**

Zmiana skali argumentu w delcie Diraca

$$1 \xrightarrow{CFT_f} \delta(f) \xleftarrow{ICFT_f}$$

$$\int_{-\infty}^{+\infty} \delta(f) \cdot e^{j \cdot 2 \cdot \pi \cdot f \cdot t} df = e^{j \cdot 2 \cdot \pi \cdot 0 \cdot t} \cdot \int_{-\infty}^{+\infty} \delta(f) df = 1$$

$$1 \xrightarrow{CFT_\omega} 2 \cdot \pi \cdot \delta(\omega) \xleftarrow{ICFT_\omega}$$

$$\frac{1}{2 \cdot \pi} \cdot \int_{-\infty}^{+\infty} 2 \cdot \pi \cdot \delta(\omega) \cdot e^{j \cdot \omega \cdot t} d\omega = e^{j \cdot 0 \cdot t} \cdot \int_{-\infty}^{+\infty} \delta(\omega) d\omega = 1$$

Zmiana skali argumentu w delcie Diraca:

$$\text{dla } a \neq 0: \delta(a \cdot t) = \frac{1}{|a|} \cdot \delta(t)$$

$$\text{dla } a \neq 0: \delta(a \cdot f) = \frac{1}{|a|} \cdot \delta(f)$$

$$\text{dla } a \neq 0: \delta(a \cdot \omega) = \frac{1}{|a|} \cdot \delta(\omega)$$

Zmiana skali argumentu w delcie Diraca

$$\text{dla } a \neq 0: \delta(a \cdot t) = \frac{1}{|a|} \cdot \delta(t)$$

Dlaczego?

Pamiętamy, że:

$$\lim_{a \rightarrow 0^+} \frac{1}{a} \cdot \Pi\left(\frac{t}{a}\right) = \delta(t)$$

$$\lim_{a \rightarrow 0} \frac{1}{|a|} \cdot \Pi\left(\frac{t}{a}\right) = \delta(t)$$

Czy parametr oznaczmy „a”, czy „c”, to powyższe zapisy są prawdziwe.

Czyli:

$$\lim_{c \rightarrow 0^+} \frac{1}{c} \cdot \Pi\left(\frac{t}{c}\right) = \delta(t)$$

$$\lim_{c \rightarrow 0} \frac{1}{|c|} \cdot \Pi\left(\frac{t}{c}\right) = \delta(t)$$

Zatem przyjmując dowolne, ale stałe „a” zapisujemy:

$$\delta(a \cdot t) = \lim_{c \rightarrow 0} \frac{1}{|c|} \cdot \Pi\left(a \cdot \frac{t}{c}\right) = \lim_{c/a \rightarrow 0} \frac{1}{|a \cdot c/a|} \cdot \Pi\left(\frac{t}{c/a}\right) = \frac{1}{|a|} \cdot \delta(t)$$

Zmiana skali argumentu w delcie Diraca

$$\lim_{a \rightarrow 0^+} \frac{1}{a} \cdot \Pi\left(\frac{t}{a}\right) = \delta(t)$$

$$\lim_{a \rightarrow 0^+} \frac{1}{a} \cdot \Pi\left(\frac{t-t_0}{a}\right) = \delta(t-t_0)$$

$$\lim_{a \rightarrow 0^+} \frac{1}{a} \cdot \Pi\left(\frac{t}{a} - t_0\right) = \lim_{a \rightarrow 0^+} \frac{1}{a} \cdot \Pi\left(\frac{t - a \cdot t_0}{a}\right) = \delta(t)$$

Przykład: transformata sygnału kosinusoidalnego

Dwa przepisy:

- a) tw. o zmianie skali w dziedzinie czasu,
- b) zmiana skali argumentu w delcie Diraca.

$$\text{dla } a \neq 0: \quad \delta(a \cdot f) = \frac{1}{|a|} \cdot \delta(f)$$

$$\cos(2 \cdot \pi \cdot f_0 \cdot t) \leftrightarrow \frac{1}{2} \cdot [\delta(f + f_0) + \delta(f - f_0)]$$

$$\cos(2 \cdot \pi \cdot f_0/a \cdot t) \leftrightarrow ???$$

$$\cos(2 \cdot \pi \cdot f_0 \cdot t/a) \leftrightarrow \frac{1}{2} \cdot |a| \cdot [\delta(a \cdot f + f_0) + \delta(a \cdot f - f_0)]$$

$$\frac{1}{2} \cdot |a| \cdot [\delta(a \cdot f + f_0) + \delta(a \cdot f - f_0)] = \frac{1}{2} \cdot \frac{|a|}{|a|} \cdot \left[\delta\left(\frac{a \cdot f + f_0}{a}\right) + \delta\left(\frac{a \cdot f - f_0}{a}\right) \right]$$

$$\cos(2 \cdot \pi \cdot f_0/a \cdot t) \leftrightarrow \frac{1}{2} \cdot [\delta(f + f_0/a) + \delta(f - f_0/a)]$$

Przykład 1

$$x(t) = \cos(2 \cdot \pi \cdot f_x \cdot t + \varphi_0)$$

$$y(t) = x(t) + x^2(t)$$

$$y(t) = \cos(2 \cdot \pi \cdot f_x \cdot t + \varphi_0) + \frac{1}{2} \cdot [\cos(2 \cdot \pi \cdot (2 \cdot f_x) \cdot t + 2 \cdot \varphi_0) + \cos(0)]$$

$$y(t) = \frac{1}{2} \cdot \cos(0) + \cos(2 \cdot \pi \cdot f_x \cdot t + \varphi_0) + \frac{1}{2} \cdot \cos(2 \cdot \pi \cdot (2 \cdot f_x) \cdot t + 2 \cdot \varphi_0)$$

$$\cos(\alpha) \cdot \cos(\beta) = \frac{1}{2} \cdot [\cos(\alpha + \beta) + \cos(\alpha - \beta)]$$

Przykład 2

$$x(t) = \cos(2 \cdot \pi \cdot f_x \cdot t + \varphi_0)$$

$$y(t) = x^3(t)$$

$$\begin{aligned} y(t) &= \frac{1}{2} \cdot \cos(2 \cdot \pi \cdot f_x \cdot t + \varphi_0) \cdot [\cos(2 \cdot \pi \cdot (2 \cdot f_x) \cdot t + 2 \cdot \varphi_0) + \cos(0)] = \\ &= \frac{1}{4} \cdot [\cos(2 \cdot \pi \cdot (3 \cdot f_x) \cdot t + 3 \cdot \varphi_0) + \cos(2 \cdot \pi \cdot f_x \cdot t + \varphi_0)] + \frac{1}{2} \cdot \cos(0) \cdot \cos(2 \cdot \pi \cdot f_x \cdot t + \varphi_0) = \\ &= \frac{3}{4} \cdot \cos(2 \cdot \pi \cdot f_x \cdot t + \varphi_0) + \frac{1}{4} \cdot \cos(2 \cdot \pi \cdot (3 \cdot f_x) \cdot t + 3 \cdot \varphi_0) \end{aligned}$$

$$\cos(\alpha) \cdot \cos(\beta) = \frac{1}{2} \cdot [\cos(\alpha + \beta) + \cos(\alpha - \beta)]$$

Iloczyn dwóch sygnałów

$$x(t) = \sum_{k=0}^{K_x} a_k \cdot \cos(2 \cdot \pi \cdot f_{xk} \cdot t + \varphi_{xk0})$$

$$y(t) = \sum_{k=0}^{K_y} b_k \cdot \cos(2 \cdot \pi \cdot f_{yk} \cdot t + \varphi_{yk0})$$

$$z(t) = x(t) \cdot y(t) = \sum_{k=0}^{K_x} \sum_{m=0}^{K_y} a_k \cdot b_m \cdot \cos(2 \cdot \pi \cdot f_{xk} \cdot t + \varphi_{xk0}) \cdot \cos(2 \cdot \pi \cdot f_{ym} \cdot t + \varphi_{ym0})$$

Pojawią się zatem wszystkie możliwe częstotliwości:

$$|f_{xk} \pm f_{ym}|$$

$$\cos(\alpha) \cdot \cos(\beta) = \frac{1}{2} \cdot [\cos(\alpha + \beta) + \cos(\alpha - \beta)]$$

Sygnal kosinusoidalny przetworzony nieliniowo

Wnioski ogólne

$$x(t) = \cos(2 \cdot \pi \cdot f_x \cdot t + \varphi_{k0})$$

$$y(t) = \sum_{n=0}^N c_n \cdot x^n(t)$$

$$x(t) \rightarrow f_x$$

$$x^2(t) \rightarrow 0, 2 \cdot f_x$$

$$x^3(t) \rightarrow f_x, 3 \cdot f_x$$

$$x^4(t) = x^2(t) \cdot x^2(t) = x(t) \cdot x^3(t) \rightarrow 0, 2 \cdot f_x, 4 \cdot f_x$$

$$x^5(t) = x^3(t) \cdot x^2(t) \rightarrow f_x, 3 \cdot f_x, 5 \cdot f_x$$

.

.

.

$$x^n(t) \rightarrow 0, 2 \cdot f_x, \dots, n \cdot f_x \quad \text{lub} \quad x^n(t) \rightarrow f_x, 3 \cdot f_x, \dots, n \cdot f_x$$

n - parzyste

n - nieparzyste

**Do przemyślenia:
analogiczne rozważania
dla sygnału**

$$x(t) = \sum_{k=0}^K a_k \cdot \cos(2 \cdot \pi \cdot f_k \cdot t + \varphi_{k0})$$

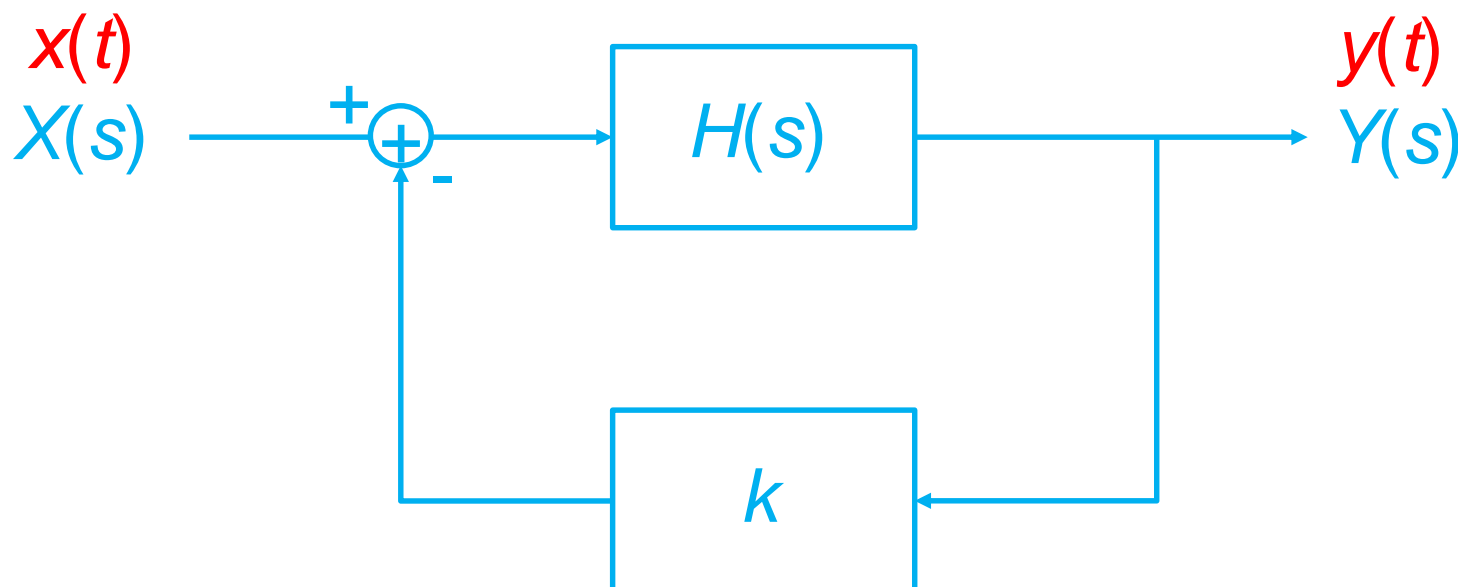
Układ z ujemnym sprzężeniem zwrotnym

$$H(s) = \frac{A}{s - s_0}$$

$$s_0, A, k \in \mathbb{R}$$

$$1 > k > 0$$

$$s_0 = -2 \cdot \pi \cdot f_g$$



Ujemne sprzężenie zwrotne (USZ) - system stacjonarny, liniowy „jednobiegunowy”

$$H(s) = \frac{A}{s - s_0}$$

$$s_0, A, k \in \mathbb{R}$$

$$s_0 = -2 \cdot \pi \cdot f_g$$

$$\begin{aligned} H(f) &= \frac{A}{j \cdot 2 \cdot \pi \cdot f + 2 \cdot \pi \cdot f_g} \\ &= A \cdot \frac{-j \cdot 2 \cdot \pi \cdot f + 2 \cdot \pi \cdot f_g}{4 \cdot \pi^2 \cdot (f^2 + f_g^2)} \end{aligned}$$

$$A > 0$$

$$|H(f)|_{f=0} = |H(0)| = \frac{A}{2 \cdot \pi \cdot f_g}$$

$$|H(f)|_{f=f_g} = |H(f_g)| = A \cdot \frac{\sqrt{4 \cdot \pi^2 \cdot f_g^2 + 4 \cdot \pi^2 \cdot f_g^2}}{8 \cdot \pi^2 \cdot f_g^2}$$

$$= \frac{A}{2 \cdot \sqrt{2} \cdot \pi \cdot f_g} = \frac{|H(0)|}{\sqrt{2}}$$

$$|H(0)| \cdot f_g = \frac{A}{2 \cdot \pi}$$

$$G(f) = \frac{H(f)}{1 + k \cdot H(f)} \quad \text{zazwyczaj } 1 > k > 0$$

$$\begin{aligned} G(s) &= \frac{H(s)}{1 + k \cdot H(s)} = \frac{\frac{A}{s - s_0}}{1 + k \cdot \frac{A}{s - s_0}} = \\ &= \frac{A}{s - s_0 + k \cdot A} = \frac{A}{s - (s_0 - k \cdot A)} \end{aligned}$$

$$s'_0 = s_0 - k \cdot A = -2 \cdot \pi \cdot f_g - k \cdot A$$

$$2 \cdot \pi \cdot f'_g = 2 \cdot \pi \cdot f_g + k \cdot A$$

$$f'_g = f_g + \frac{k \cdot A}{2 \cdot \pi} \approx \frac{k \cdot A}{2 \cdot \pi} \quad k \cdot A \gg 2 \cdot \pi \cdot f_g$$

$$|G(0)| = \frac{A}{2 \cdot \pi \cdot f_g + k \cdot A} \approx \frac{1}{k}$$

$$|G(0)| \cdot f'_g = \frac{A}{2 \cdot \pi}$$

Teoretyczna pętla fazowa (*ang. PLL*)

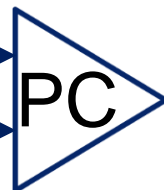
Phase Locked Loop

$$\varphi_x(t)$$

$$x(t) = \cos(\varphi_x(t))$$

$$\frac{d}{dt} \varphi_x(t) = 2 \cdot \pi \cdot f_x(t)$$

Phase Comparator



$$\Delta\varphi(t) = \varphi_x(t) - \varphi_g(t)$$

$$u_s(t) = \cos(\Delta\varphi(t))$$

Voltage Controlled Oscillator

VCO

$$\varphi_g(t)$$

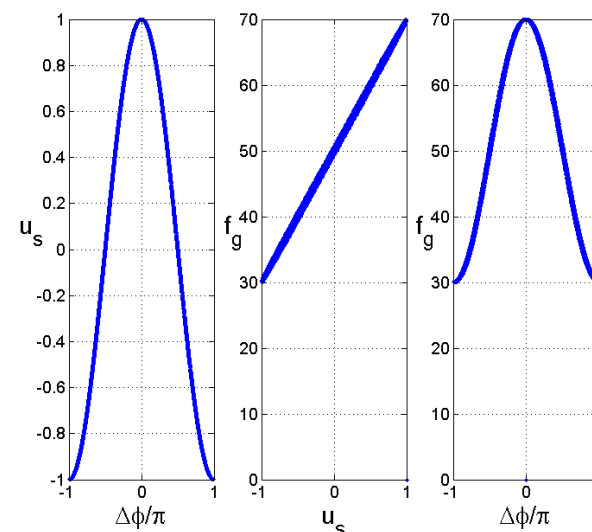
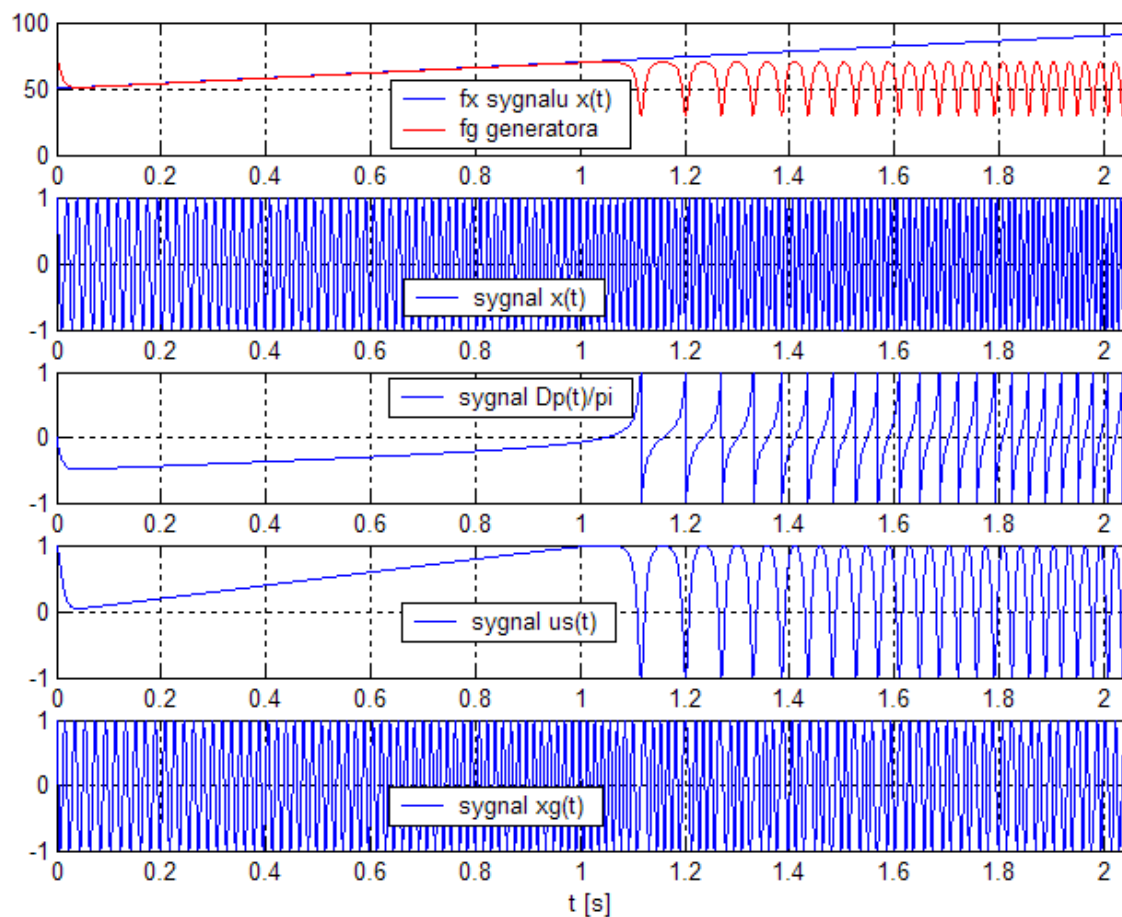
$$g(t) = \cos(\varphi_g(t))$$

$$f_g(t) = f_0 + K \cdot u_s(t)$$

$$\frac{d}{dt} \varphi_g(t) = 2 \cdot \pi \cdot f_g(t)$$

Teoretyczna pętla fazowa (*ang. PLL*)

$$\varphi_x(t) = (2 \cdot \pi \cdot f_0 + a \cdot t) \cdot t$$



$$f_0 = 50\text{Hz}$$

$$K = 20$$

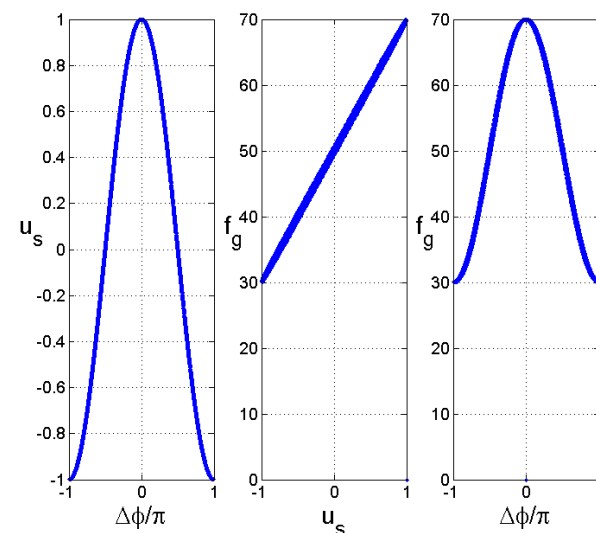
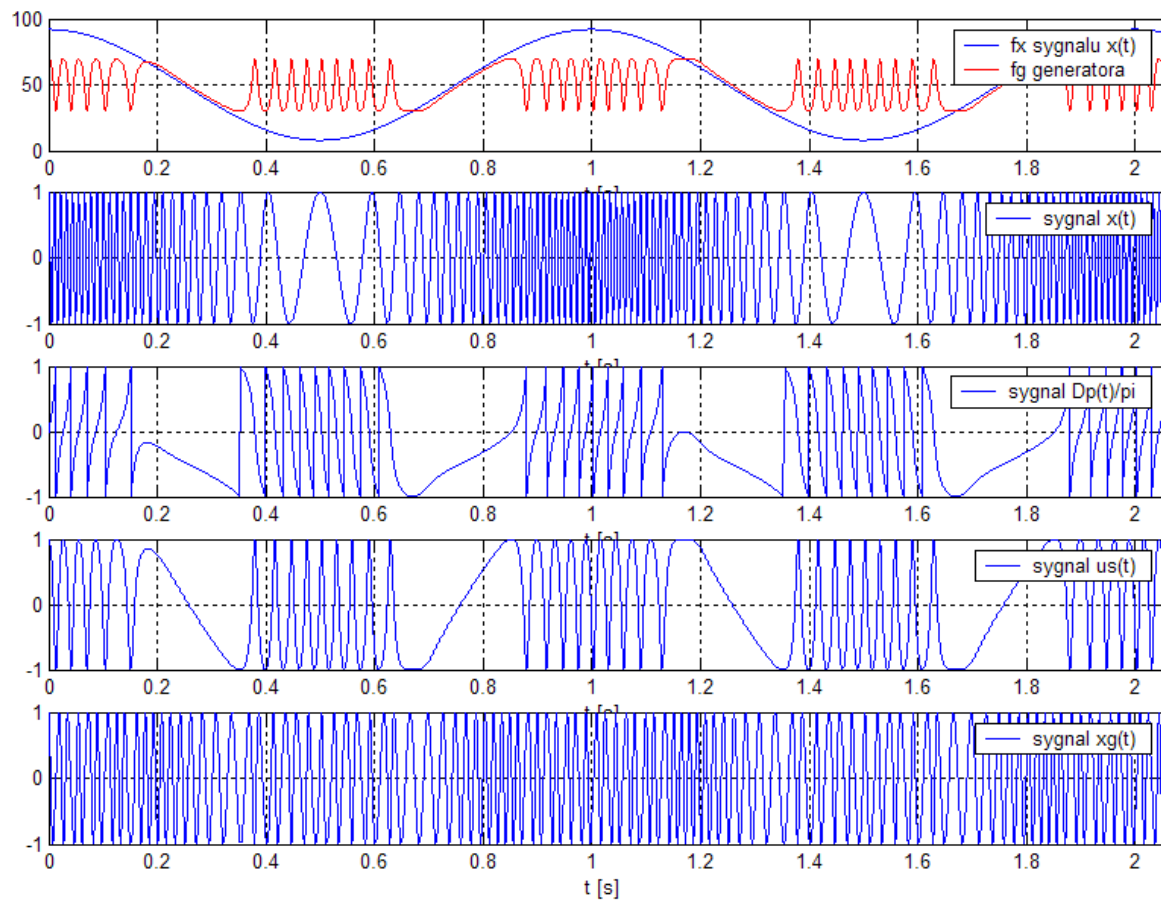
$$a = 10$$

$$Dp = \Delta\varphi$$

$$xg(t) = g(t)$$

Teoretyczna pętla fazowa (*ang. PLL*)

$$\varphi_x(t) = 2 \cdot \pi \cdot f_0 \cdot t + B_m \cdot \sin(2 \cdot \pi \cdot f_m \cdot t)$$



$$f_0 = 50 \text{ Hz}$$

$$K = 20$$

$$B_m = 42$$

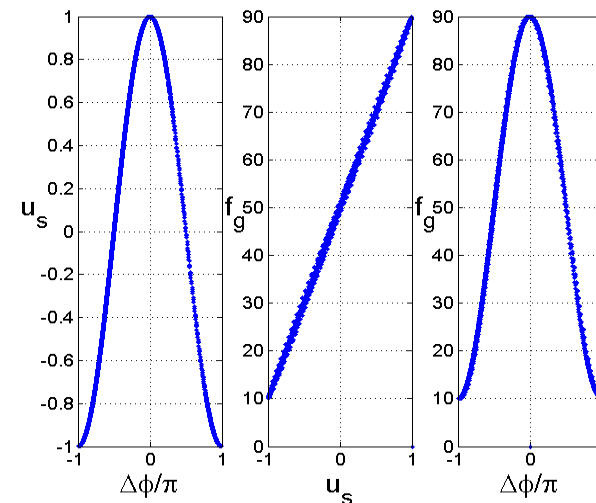
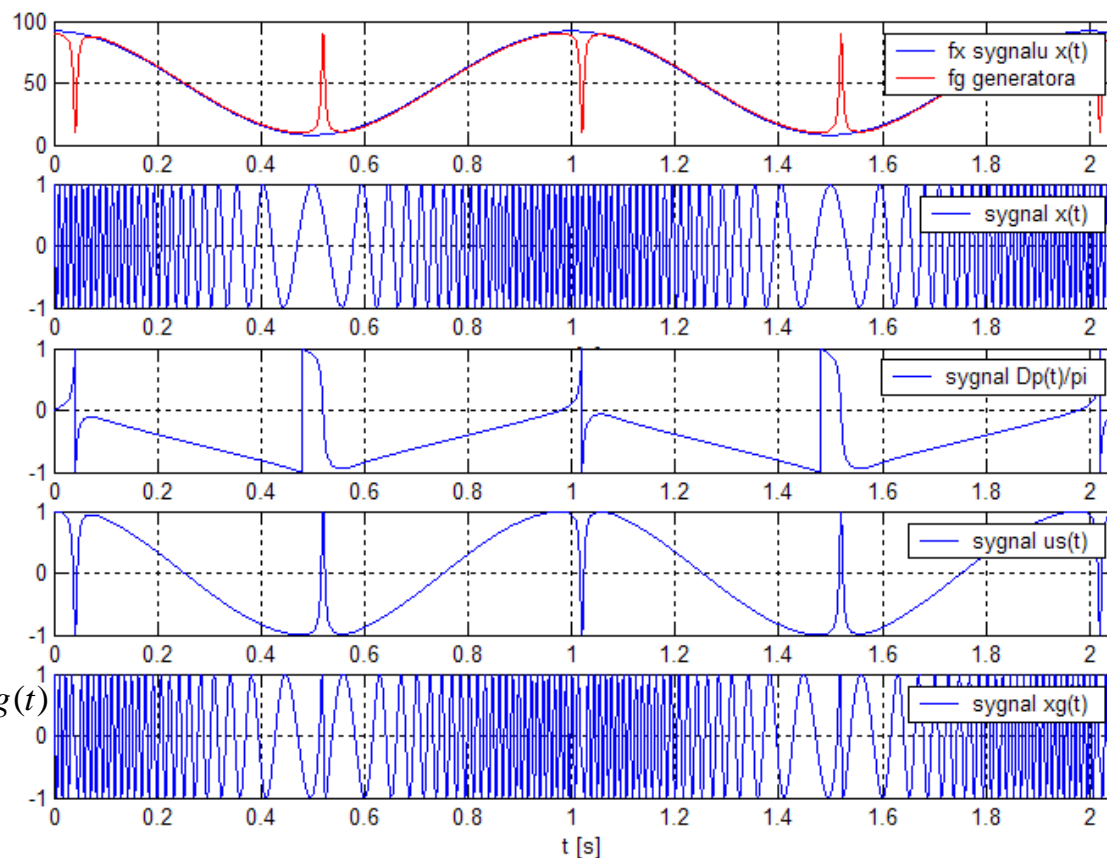
$$f_m = 1 \text{ Hz}$$

$$Dp = \Delta\varphi$$

$$xg(t) = g(t)$$

Teoretyczna pętla fazowa (*ang. PLL*)

$$\varphi_x(t) = 2 \cdot \pi \cdot f_0 \cdot t + B_m \cdot \sin(2 \cdot \pi \cdot f_m \cdot t)$$



$$f_0 = 50 \text{ Hz}$$

$$K = 40$$

$$B_m = 42$$

$$f_m = 1 \text{ Hz}$$

$$D_p = \Delta\phi$$

Próbkowanie idealne (powtórka)

$$x(t) \xrightarrow{CFT} X(f) \\ \xleftarrow{ICFT}$$

$$x_p(t) = x(t) \cdot p(t)$$

$p(t)$ – funkcja próbkująca

$$X_p(f) = X(f) * P(f)$$

W tym przypadku:

$$p(t) = \sum_{n=-\infty}^{+\infty} \delta(t - n \cdot \Delta t)$$

$$\sum_{n=-\infty}^{+\infty} \delta(t - n \cdot \Delta t) \xleftrightarrow{CFT} \frac{1}{\Delta t} \cdot \sum_{k=-\infty}^{+\infty} \delta(f - k \cdot f_p)$$

$$f_p = \frac{1}{\Delta t}$$

Zatem transformata (CTF) po próbkowaniu:

$$X_p(f) = \frac{1}{\Delta t} \cdot \sum_{k=-\infty}^{+\infty} X(f - k \cdot f_p)$$

Próbkowanie z aperturą (wersja 1)

- naturalne

$$x(t) \xrightleftharpoons[ICFT]{CFT} X(f)$$

$$x_p(t) = x(t) \cdot p(t)$$

$$X_p(f) = X(f) * P(f)$$

$$T < \Delta t$$

W tym przypadku okno próbkujące „otwiera się” na czas T , w którym kopiuje sygnał:

$$p(t) = \sum_{n=-\infty}^{+\infty} \Pi\left(\frac{t - n \cdot \Delta t}{T}\right)$$

Środek okna znajduje się w punkcie próbkowania.

$p(t)$ jest okresowe, ze wzorcem okresu $p_0(t)$, zatem jego transformata musi być następująca:

$$p_0(t) = \Pi\left(\frac{t}{T}\right) \xrightleftharpoons[ICFT]{CFT} P_0(f) = T \cdot \text{sinc}(\pi \cdot f \cdot T)$$

$$P(f) = \frac{1}{\Delta t} \cdot \sum_{n=-\infty}^{+\infty} P_0(n \cdot f_0) \cdot \delta(f - n \cdot f_0)$$

$$\sum_{n=-\infty}^{+\infty} \Pi\left(\frac{t - n \cdot \Delta t}{T}\right) \xrightleftharpoons[ICFT]{CFT} \frac{T}{\Delta t} \cdot \sum_{k=-\infty}^{+\infty} \text{sinc}(\pi \cdot k \cdot f_p \cdot T) \cdot \delta(f - k \cdot f_p)$$

Zatem transformata (CTF) po spróbkowaniu:

$$X_p(f) = \frac{T}{\Delta t} \cdot \sum_{k=-\infty}^{+\infty} \text{sinc}(\pi \cdot (k \cdot f_p) \cdot T) \cdot X(f - k \cdot f_p)$$

...czyli odtwarzanie sygnału jest oczywiste.

Nie zależy od f , ale zależy od k – czyli jest to mnożnik (liczba).

Próbkowanie „z aperturą” (wersja 2) - chwilowe

$$x(t) \xrightarrow[\text{ICFT}]{\text{CFT}} X(f)$$

Wartość próbki idealnej staje się amplitudą prostokąta o szerokości T .

$$T < \Delta t$$

$$x_p(t) = \sum_{n=-\infty}^{+\infty} x(n \cdot \Delta t) \cdot \Pi\left(\frac{t - n \cdot \Delta t}{T}\right)$$

Środek prostokąta znajduje się w punkcie próbkowania.

$$x_p(t) = [x(t) \cdot p(t)] * \Pi\left(\frac{t}{T}\right)$$

$$p(t) = \sum_{n=-\infty}^{+\infty} \delta(t - n \cdot \Delta t)$$

$$X_p(f) = [X(f) * P(f)] \cdot \text{sinc}(\pi \cdot f \cdot T) \cdot T$$

Zatem transformata jest taka jak dla próbkowania idealnego, jednak z obwiednią „sinc” oraz mnożnikiem T . W tym przypadku obwiednia jest funkcją f !

...czyli odtwarzanie sygnału wymaga skompensowania tego efektu.

Próbkowanie „z aperturą” (wersja 3) - chwilowe, z opóźnieniem

Bardziej realistyczna wersja:

w tym przypadku w punkcie próbkowania znajduje się początek próbkującego prostokąta.

$$x_p(t) = \sum_{n=-\infty}^{+\infty} x(n \cdot \Delta t) \cdot \Pi\left(\frac{t - n \cdot \Delta t - T/2}{T}\right)$$

$$x_p(t) = [x(t) \cdot p(t)] * \Pi\left(\frac{t - T/2}{T}\right)$$

$$X_p(f) = [X(f) * P(f)] \cdot \text{sinc}(\pi \cdot f \cdot T) \cdot T \cdot e^{-j \cdot \pi \cdot f \cdot T}$$

**Mnożnik „exp” na końcu daje jedynie liniową modyfikację fazy
– sygnał spróbkowany jest opóźniony o $T/2$.**

Takie opóźnienie można niekiedy zignorować.

Próbkowanie z aperturą (wersja 4) - naturalne z całkowaniem całościowym

Próbkowanie naturalne z aperturą:

$$x_p(t) = x(t) \cdot p(t)$$

$$p(t) = \sum_{n=-\infty}^{+\infty} \Pi\left(\frac{t - n \cdot \Delta t}{T}\right)$$

... dlatego:

$$x_c(t) = \int_{-\infty}^t x_p(\tau) d\tau \quad \longleftrightarrow \quad X_c(f) \stackrel{f \neq 0}{=} \frac{1}{j \cdot 2 \cdot \pi \cdot f} \cdot X_p(f)$$

Jeżeli założymy:

$$X_p(0) = 0$$

to:

$$X_c(0) = 0$$

$$X_p(f) = \frac{T}{\Delta t} \cdot \sum_{k=-\infty}^{+\infty} \text{sinc}(\pi \cdot (k \cdot f_p) \cdot T) \cdot X(f - k \cdot f_p)$$

Ostatecznie:

$$X_c(f) = \frac{1}{j \cdot 2 \cdot \pi \cdot f} \cdot \frac{T}{\Delta t} \cdot \sum_{k=-\infty}^{+\infty} \text{sinc}(\pi \cdot (k \cdot f_p) \cdot T) \cdot X(f - k \cdot f_p)$$

Zależy od f , czyli tworzy obwiednię.

Próbkowanie z aperturą (wersja 5) - z całkowaniem lokalnym

$$x(t) \xrightleftharpoons[ICFT]{CFT} X(f)$$

W tej wersji wynik próbkowania jest pseudo-funkcją grzebieniową modulowaną wynikiem całkowania:

$$x_c(t) = \sum_{n=-\infty}^{+\infty} \delta(t - n \cdot \Delta t) \cdot \int_{-\infty}^{t+T/2} p_n(\tau) \cdot x(\tau) d\tau \quad T < \Delta t \quad (1)$$

gdzie:

$$p_n(t) = \Pi\left(\frac{t - n \cdot \Delta t}{T}\right)$$

jest elementem ciągu okien próbkujących:

$$p(t) = \sum_{n=-\infty}^{+\infty} p_n(t)$$

Po uwzględnieniu okien wzór (1) można przepisać następująco:

$$x_c(t) = \sum_{n=-\infty}^{+\infty} \delta(t - n \cdot \Delta t) \cdot \int_{n \cdot \Delta t - T/2}^{n \cdot \Delta t + T/2} x(\tau) d\tau \quad (2)$$

Próbkowanie z aperturą (wersja 5) - z całkowaniem lokalnym

$$x_c(t) = \sum_{n=-\infty}^{+\infty} \delta(t - n \cdot \Delta t) \cdot \int_{n \cdot \Delta t - T/2}^{n \cdot \Delta t + T/2} x(\tau) d\tau \quad (2)$$

Wprowadźmy sygnał $y(t)$:

$$y(t) = \int_{-\infty}^t x(\tau) d\tau$$

... i teraz wzór (2) możemy przepisać kolejno:

$$x_c(t) = \sum_{n=-\infty}^{+\infty} \delta(t - n \cdot \Delta t) \cdot [y(n \cdot \Delta t + T/2) - y(n \cdot \Delta t - T/2)] \quad (3)$$

$$x_c(t) = \sum_{n=-\infty}^{+\infty} \delta(t - n \cdot \Delta t) \cdot [y(t + T/2) - y(t - T/2)] \quad (4)$$

$$x_c(t) = [y(t + T/2) - y(t - T/2)] \cdot \sum_{n=-\infty}^{+\infty} \delta(t - n \cdot \Delta t) \quad (5)$$

Próbkowanie z aperturą (wersja 5) - z całkowaniem lokalnym

$$x_c(t) = [y(t + T/2) - y(t - T/2)] \cdot \sum_{n=-\infty}^{+\infty} \delta(t - n \cdot \Delta t) \quad (5)$$

$$x_c(t) = [y(t + T/2) - y(t - T/2)] \cdot g_{\Delta t}(t)$$

$$g_{\Delta t}(t) = \sum_{n=-\infty}^{+\infty} \delta(t - n \cdot \Delta t)$$

$$\Delta t = \frac{1}{f_p}$$

$$g_{\Delta t}(t) \xleftrightarrow[\text{ICFT}]{\text{CFT}} \frac{1}{\Delta t} \cdot g_{f_p}(f)$$

$$X_c(f) = Y(f) \cdot \left[e^{j \cdot 2 \cdot \pi \cdot f \cdot T/2} - e^{-j \cdot 2 \cdot \pi \cdot f \cdot T/2} \right] * g_{f_p}(f) \cdot \frac{1}{\Delta t}$$

$$Y(f) = \frac{1}{j \cdot 2 \cdot \pi \cdot f} \cdot X(f)$$

$$X_c(f) = \frac{T}{\Delta t} \cdot \sum_{k=-\infty}^{+\infty} \text{sinc}(\pi \cdot (f - k \cdot f_p) \cdot T) \cdot X(f - k \cdot f_p)$$

Zależy od f , czyli tworzy obwiednię typu „sinc” – osobną dla każdej kopii $X(f)$.

Próbkowanie z aperturą (wersja 6) - z całkowaniem lokalnym, z opóźnieniem

$$x_c(t) = \sum_{n=-\infty}^{+\infty} \delta(t - n \cdot \Delta t) \cdot \int_{-\infty}^t p_n(\tau) \cdot x(\tau) d\tau$$

czyli okno próbkujące musi poprzedzać „punkt próbki”

$$p_n(t) = \Pi\left(\frac{t - n \cdot \Delta t + T/2}{T}\right) \qquad p(t) = \sum_{n=-\infty}^{+\infty} p_n(t)$$

$$x_c(t) = \sum_{n=-\infty}^{+\infty} \delta(t - n \cdot \Delta t) \cdot \int_{n \cdot \Delta t - T}^{n \cdot \Delta t} x(\tau) d\tau$$

Inne (niż sinc) sposoby odtwarzania sygnału analogowego z próbek

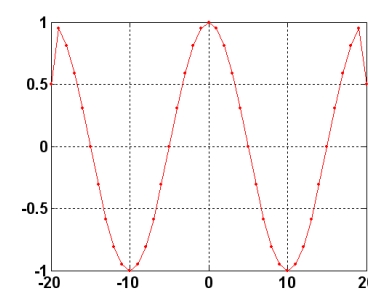
$$x_{\Pi}(t) = \sum_{n=n_1}^{n_2} x[n] \cdot \Pi\left(\frac{t - n \cdot \Delta t}{\Delta t}\right) \longleftrightarrow X_{\Pi}(f) = \sum_{n=n_1}^{n_2} x[n] \cdot \Delta t \cdot \text{sinc}(\pi \cdot f \cdot \Delta t) \cdot e^{-j \cdot 2 \cdot \pi \cdot f \cdot n \cdot \Delta t}$$

$$\Lambda\left(\frac{t}{\Delta t}\right) \leftrightarrow \Delta t \cdot \text{sinc}^2(\pi \cdot f \cdot \Delta t)$$

$$x_{\Lambda}(t) = \sum_{n=n_1}^{n_2} x[n] \cdot \Lambda\left(\frac{t - n \cdot \Delta t}{\Delta t}\right) \longleftrightarrow X_{\Lambda}(f) = \sum_{n=n_1}^{n_2} x[n] \cdot \Delta t \cdot \text{sinc}^2(\pi \cdot f \cdot \Delta t) \cdot e^{-j \cdot 2 \cdot \pi \cdot f \cdot n \cdot \Delta t}$$

Próbki można też notować tak: $x[n] = x_n$

$$x(t) = \Pi\left(\frac{t}{T}\right) \cdot \cos(2 \cdot \pi \cdot f_0 \cdot t)$$

 $x[n]$


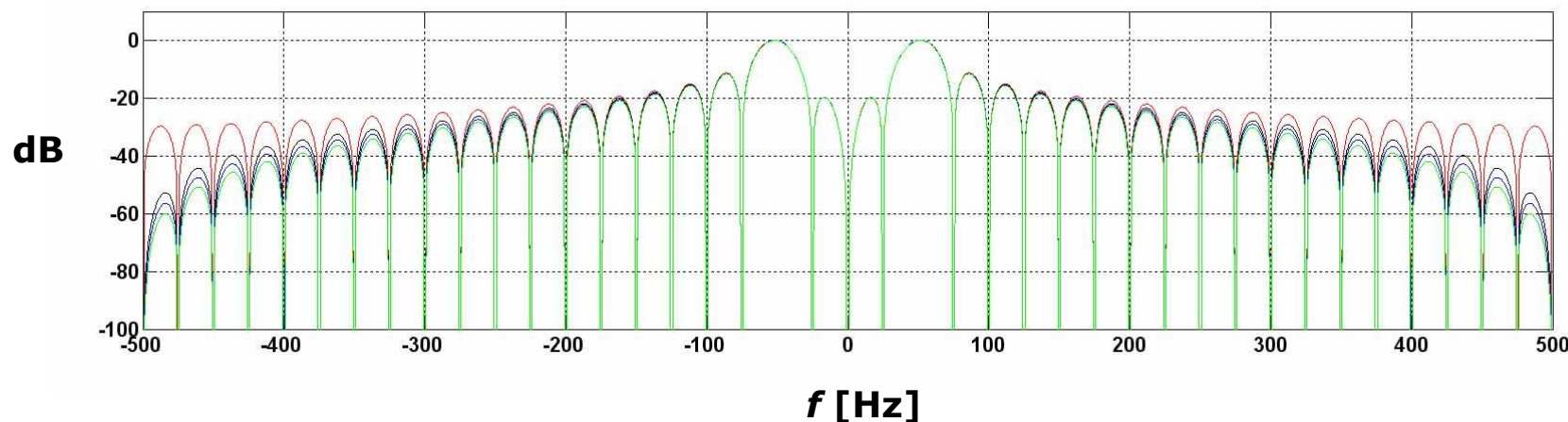
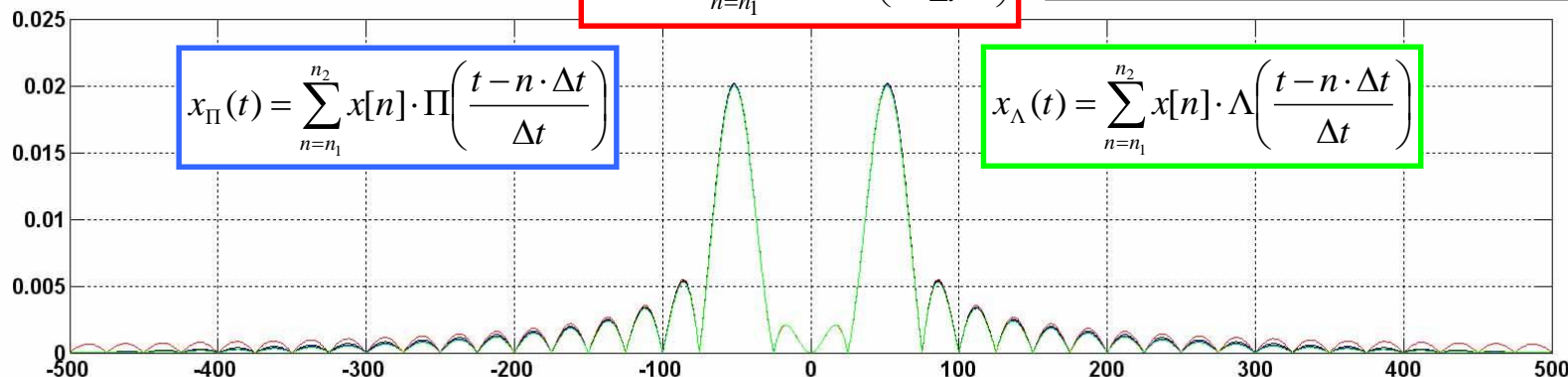
Przykładowe porównanie modułów CFT (oraz D-TFT)

$$x_{\text{sinc}}(t) = \sum_{n=n_1}^{n_2} x[n] \cdot \text{sinc}\left(\frac{t - n \cdot \Delta t}{\Delta t}\right)$$

D-TFT pomnożono przez Δt

$$x_{\Pi}(t) = \sum_{n=n_1}^{n_2} x[n] \cdot \Pi\left(\frac{t - n \cdot \Delta t}{\Delta t}\right)$$

$$x_{\Lambda}(t) = \sum_{n=n_1}^{n_2} x[n] \cdot \Lambda\left(\frac{t - n \cdot \Delta t}{\Delta t}\right)$$



Próbkowanie „naturalne” we wzmacniaczach mocy klasy D

Dla sygnału nieskończonego:

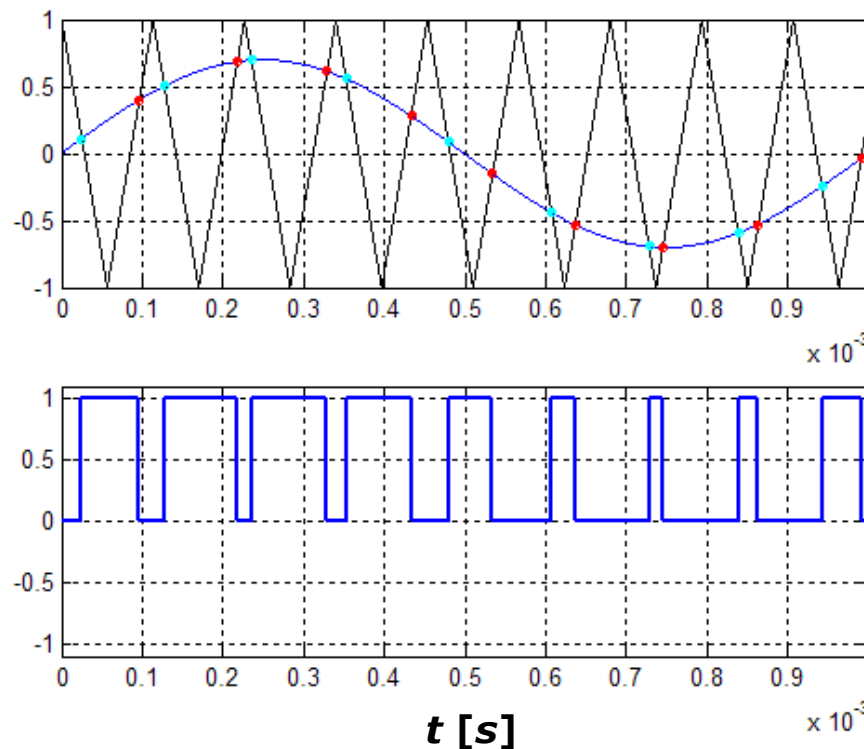
$$x(t) = \cos(2 \cdot \pi \cdot f_x \cdot t + \varphi_0)$$

$$y(t) = \sum_{n=-\infty}^{+\infty} \Pi\left(\frac{t - t_n}{T_n}\right)$$

$$T_n = t_{bn} - t_{an}$$

$$t_n = \frac{t_{an} + t_{bn}}{2}$$

$$Y(f) = \sum_{n=-\infty}^{+\infty} T_n \cdot \text{sinc}(\pi \cdot f \cdot T_n) \cdot e^{-j \cdot 2 \cdot \pi \cdot f \cdot t_n}$$

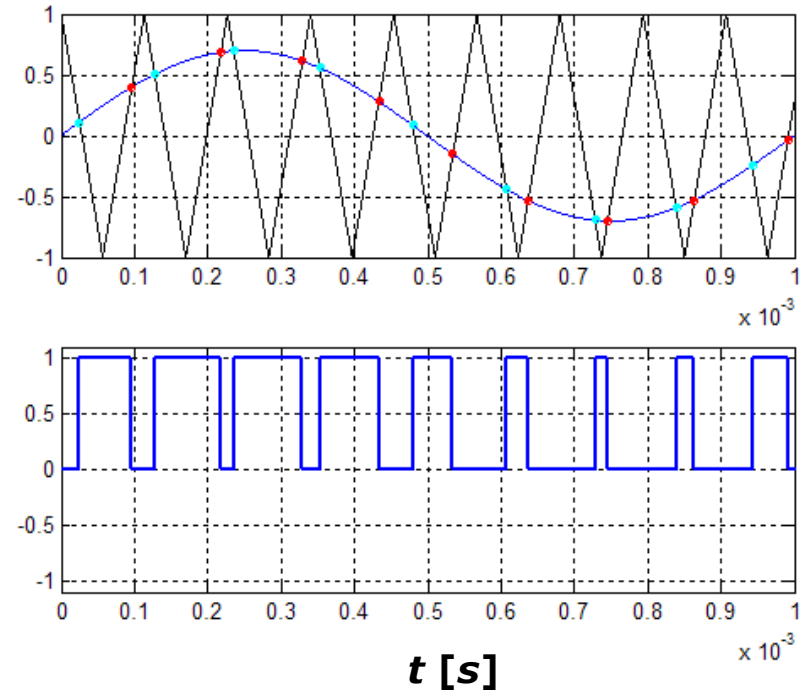


Próbkowanie „naturalne” we wzmacniaczach mocy klasy D

Dla sygnału skończonego:

$$x(t) = \cos(2 \cdot \pi \cdot f_x \cdot t + \varphi_0) \cdot \Pi\left(\frac{t - T/2}{T}\right)$$

$$y(t) = \sum_{n=0}^{N-1} \Pi\left(\frac{t - t_n}{T_n}\right)$$

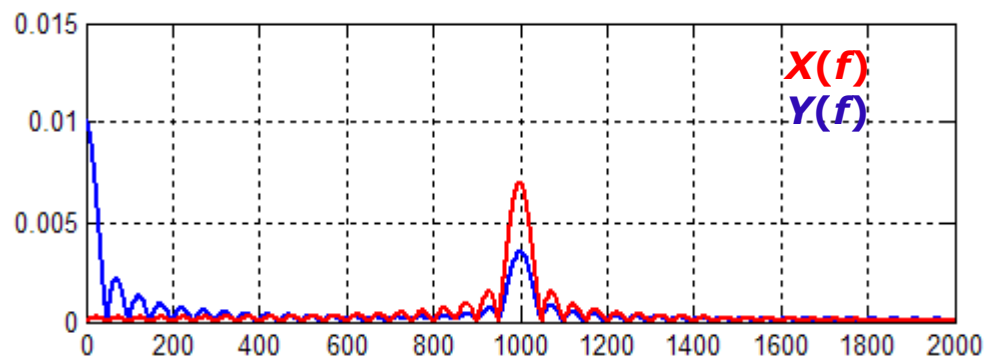


$$Y(f) = \sum_{n=0}^{N-1} T_n \cdot \text{sinc}(\pi \cdot f \cdot T_n) \cdot e^{-j \cdot 2 \cdot \pi \cdot f \cdot t_n}$$

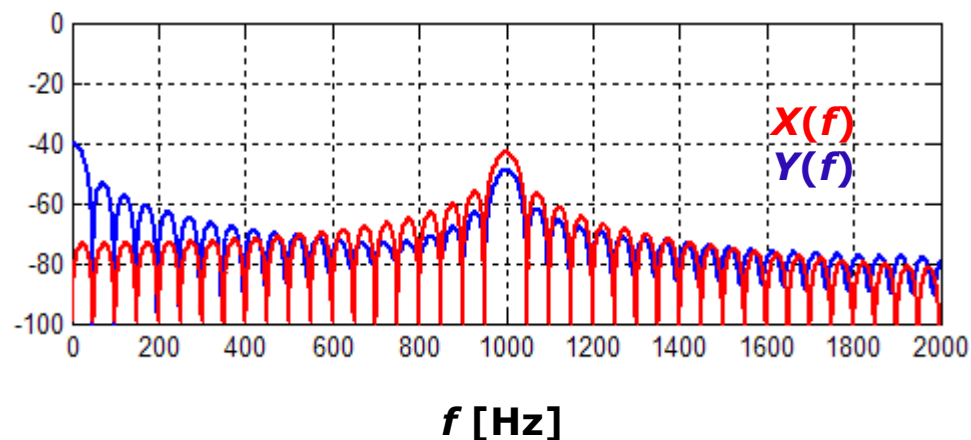
Próbkowanie „naturalne” we wzmacniaczach mocy klasy D

Charakterystyki amplitudowe (czyli moduł)

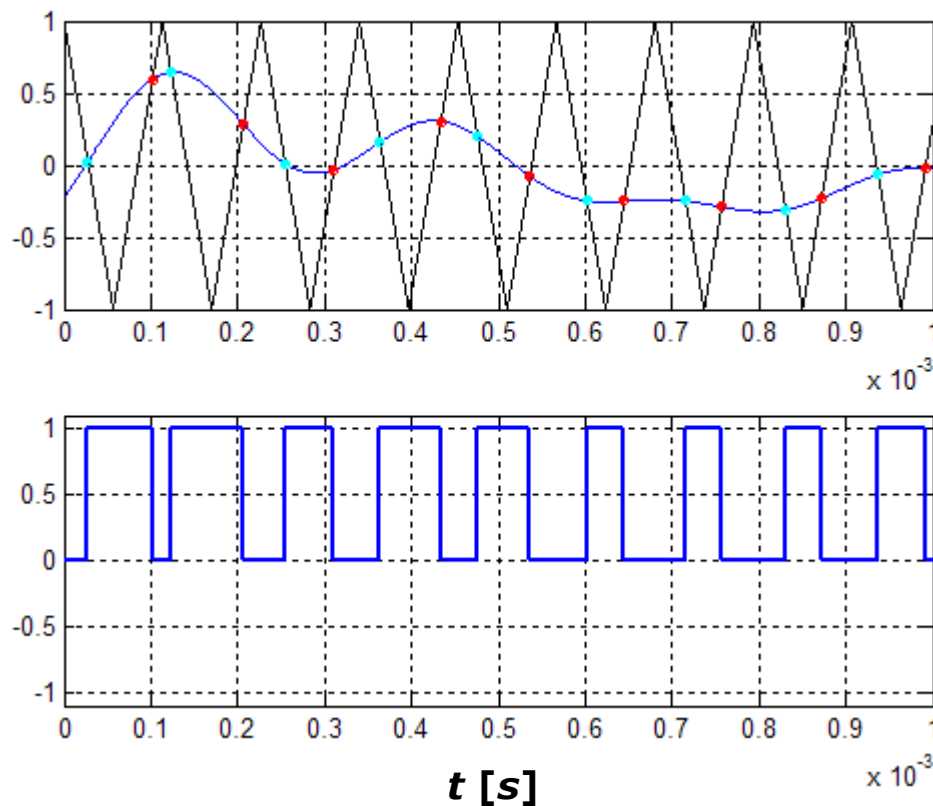
Skala liniowa



Skala w dB



Próbkowanie „naturalne” we wzmacniaczach mocy klasy D

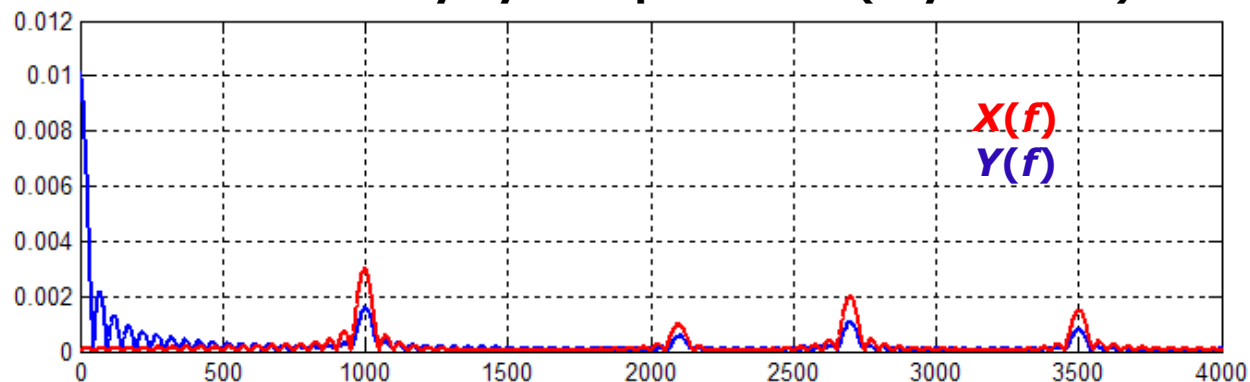


**Sygnał będący kombinacją
liniową czterech kosinusoid**

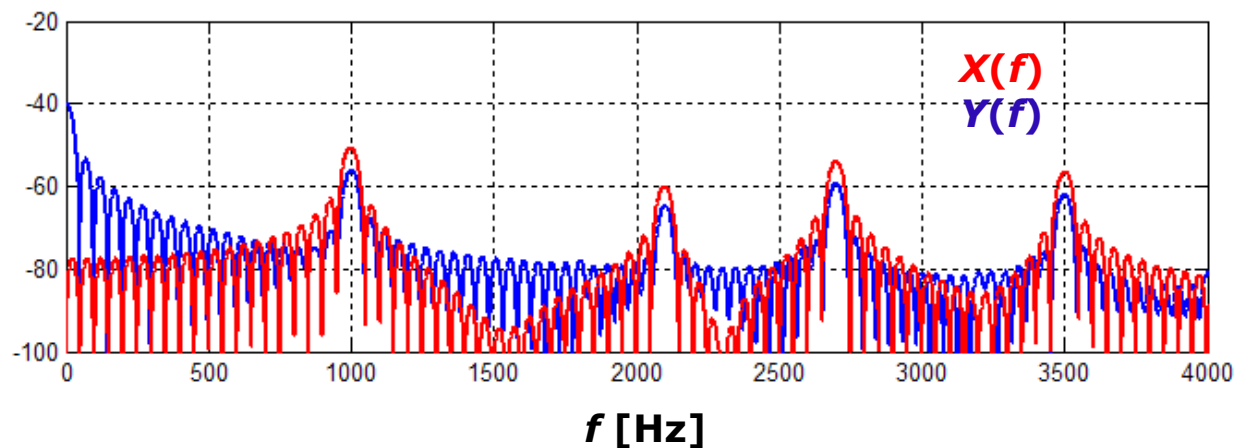
Próbkowanie „naturalne” we wzmacniaczach mocy klasy D

Charakterystyki amplitudowe (czyli moduł)

Skala liniowa



Skala w dB



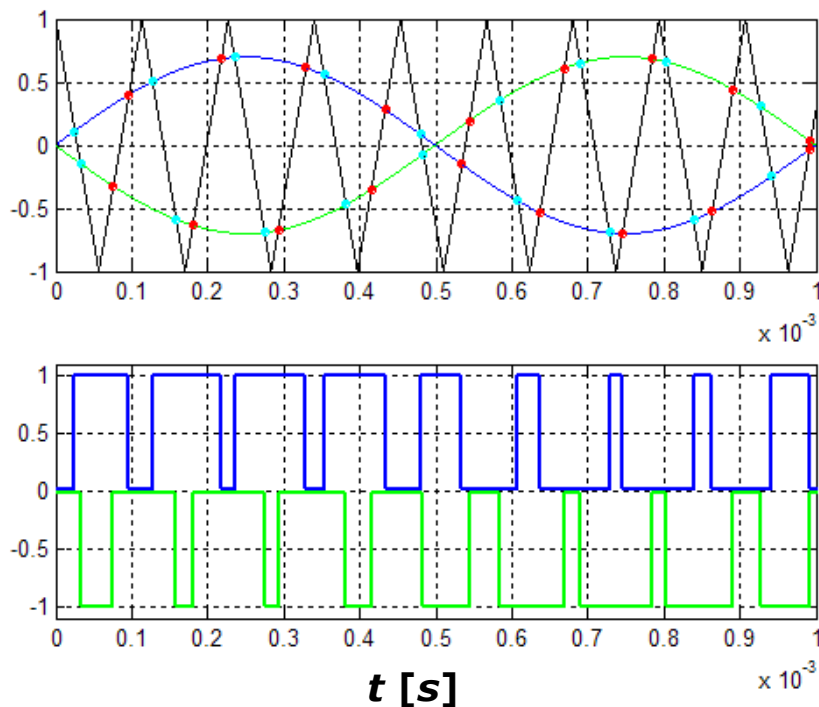
Próbkowanie „naturalne” we wzmacniaczach mocy klasy D

Wariant dwukanałowy (dwustronny):

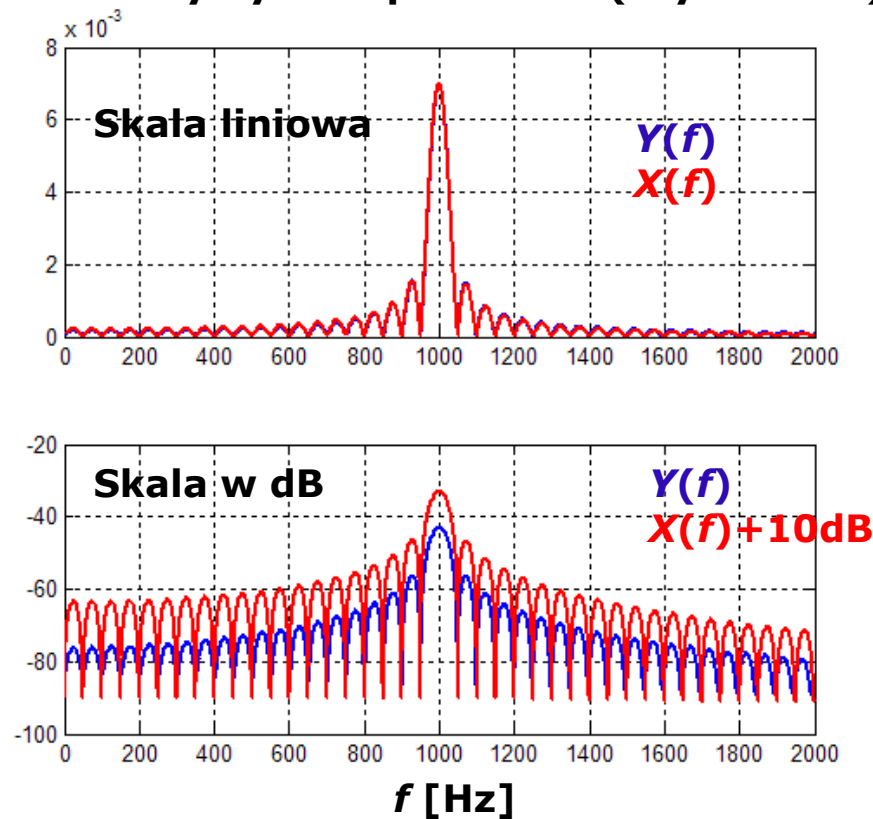
$$x(t) \rightarrow y_1(t)$$

$$-x(t) \rightarrow y_2(t)$$

$$y(t) = y_1(t) - y_2(t)$$



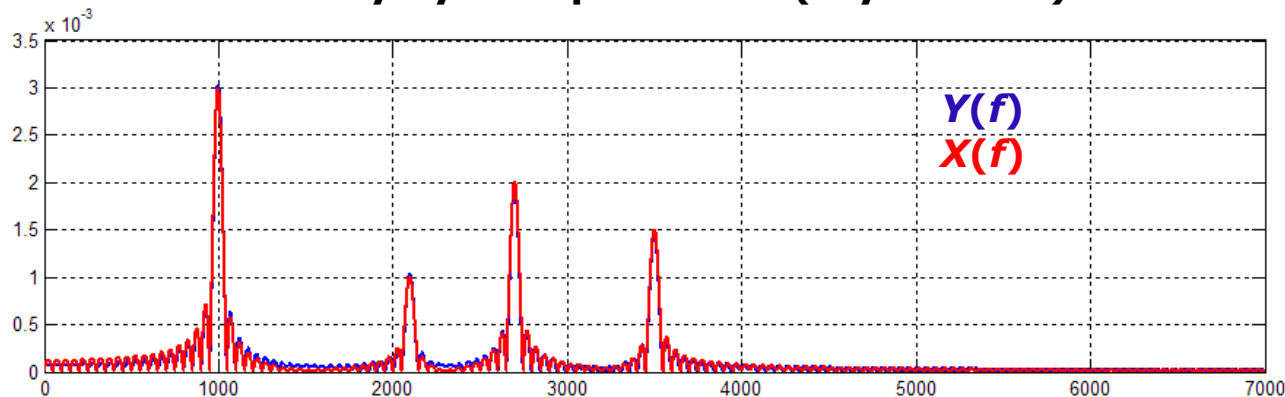
Charakterystyki amplitudowe (czyli moduł)



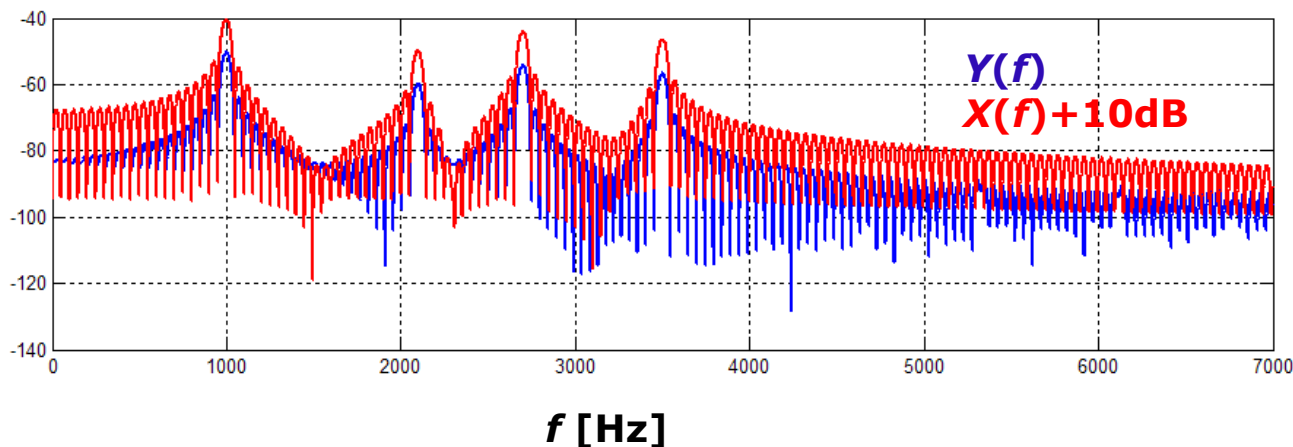
Próbkowanie „naturalne” we wzmacniaczach mocy klasy D

Charakterystyki amplitudowe (czyli moduł)

Skala liniowa



Skala w dB



Podsumowanie

- 1. Zmiana argumentu w delcie Diraca.**
- 2. Nieliniowe przetwarzanie sygnałów kosinusoidalnych.**
- 3. Ujemne sprzężenie zwrotne.**
- 4. Teoretyczna pętla fazowa.**
- 5. Próbkowanie z aperturą (różne wersje).**
- 6. Różne warianty odtwarzania sygnału z próbek.**
- 7. Próbkowanie naturalne we wzmacniaczach mocy.**

***Zapraszam na ćwiczenia ...
lub do laboratorium ...***